

目录

1. Introduction to Rigid Body Dynamics

2. Rigid Body Dynamics Simulation in short

3. Recap: Properties and Kinematics of Rigid Bodies

4. Constraints

1. Holonomic constraints (image)

5. Simulation of free-floating Rigid Bodies

6. Constraint forces and simulation (约束力和仿真)

8. Impulse-based simulation of constrained Rigid Bodies

Impulse-based vs Force-based 方法区别

10. Simulation of constrained Rigid Bodies with friction

11. Generalized vs. maximal coordinates formalism

个人总结

SRSP

1. Introduction to Rigid Body Dynamics

基于牛顿-欧拉动量守恒定律建立运动方程

结合系统内的约束条件，得到整体系统的运动方程

Concerning the Simulation Model:

1. properties of each individual Rigid Body

2. kinematic coupling between Rigid Bodies

3.additional actors/sensors

Simulator: solvers/integrators to simulate the resulting behavior of the interacting Rigid Bodies over time.

解DAE方程

2.Rigid Body Dynamics Simulation in short

Maximal Coordinates (最大坐标法) vs Generalized Coordinates (广义坐标法)

因为本题目主要围绕碰撞, 所以使用Maximal Coordinates。

结构更灵活、适合接触/碰撞仿真, 但计算更复杂。

Newton's laws of motion for Rigid Body	\Leftrightarrow	Change of velocity
<div style="display: flex; justify-content: space-between;"><div style="width: 45%;">$\underline{p}_i = m_i \cdot \underline{v}_i$$\underline{L}_i = \underline{\Theta}_i \cdot \underline{\omega}_i$</div><div style="width: 50%;">$\frac{d\underline{p}_i}{dt} = \underline{f}_{\text{ext},i} = m_i \cdot \underline{\dot{v}}_i$$\frac{d\underline{L}_i}{dt} = \underline{\tau}_{\text{ext},i} = \underline{\Theta}_i \cdot \underline{\dot{\omega}}_i + \underline{\omega}_i \times \underline{\Theta}_i \underline{\omega}_i$</div></div>	\Leftrightarrow	$\underline{\dot{v}}_i = \frac{1}{m_i} \cdot \underline{f}_{\text{ext},i}$ $\underline{\dot{\omega}}_i = \underline{\Theta}_i^{-1} \cdot (\underline{\tau}_{\text{ext},i} - \underline{\omega}_i \times \underline{\Theta}_i \underline{\omega}_i)$

Equation of motion of a system of Rigid Bodies

$$\underbrace{\begin{bmatrix} \underline{\dot{v}}_1 \\ \underline{\dot{\omega}}_1 \\ \vdots \\ \underline{\dot{v}}_n \\ \underline{\dot{\omega}}_n \end{bmatrix}}_{\underline{\ddot{x}}} = \underbrace{\begin{bmatrix} m_1^{-1} \underline{I} & \underline{0} & \underline{0} & \underline{0} \\ \underline{0} & \underline{\Theta}_1^{-1} & \underline{0} & \underline{0} \\ & & \ddots & \\ \underline{0} & \underline{0} & m_n^{-1} \underline{I} & \underline{0} \\ \underline{0} & \underline{0} & \underline{0} & \underline{\Theta}_n^{-1} \end{bmatrix}}_{\underline{M}^{-1}} \cdot \underbrace{\begin{bmatrix} \underline{f}_{\text{ext},1} \\ \underline{\tau}_{\text{ext},1} - \underline{\omega}_1 \times \underline{\Theta}_1 \underline{\omega}_1 \\ \vdots \\ \underline{f}_{\text{ext},n} \\ \underline{\tau}_{\text{ext},n} - \underline{\omega}_n \times \underline{\Theta}_n \underline{\omega}_n \end{bmatrix}}_{\underline{f}_{\text{ext}}}$$

计算机进行仿真, 需要使用差分离散法去模拟连续的微分方程:

$$\underline{\ddot{x}} = \underline{M}^{-1} \cdot \underline{f}_{\text{ext}}$$

Euler积分:

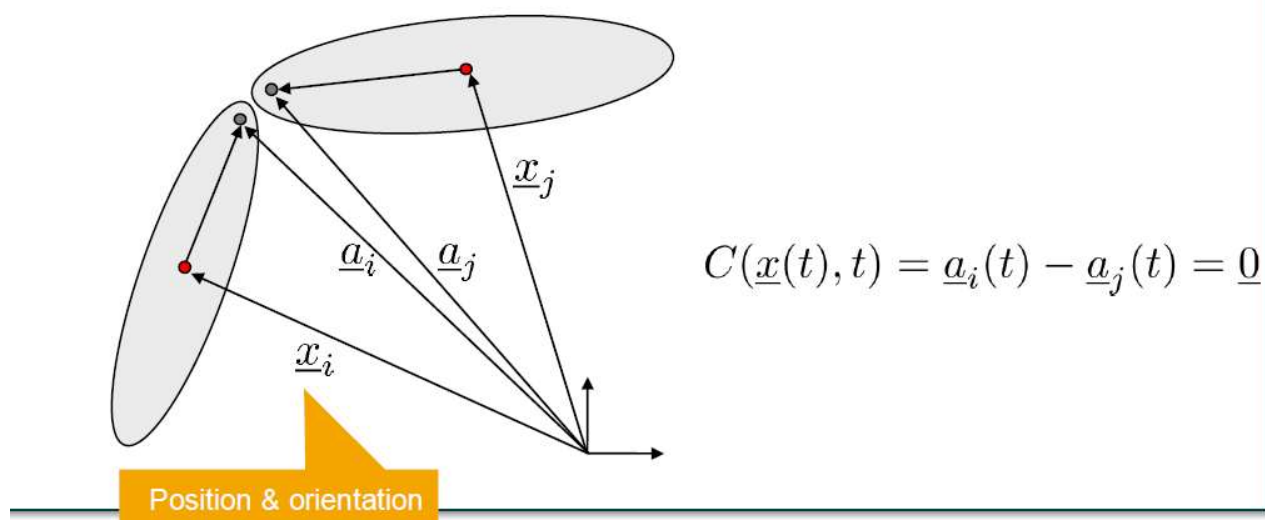
$$\frac{\dot{\underline{x}}(t + dt) - \dot{\underline{x}}(t)}{dt} = \underline{M}^{-1}(t) \cdot \underline{f}_{\text{ext}}(t)$$

$$\dot{\underline{x}}(t + dt) = \dot{\underline{x}}(t) + dt \cdot \underline{M}^{-1}(t) \cdot \underline{f}_{\text{ext}}(t)$$

约束条件:

位置约束: 等式约束:

$$C(\underline{x}(t), t) = \underline{0}$$



之后可以推导一阶导数和二阶导数, 也就是所谓的速度和加速度

$$\frac{d}{dt}(C(\underline{x}(t), t)) = \underline{0}$$

$$\frac{\partial C}{\partial \underline{x}} \dot{\underline{x}} + \frac{\partial C}{\partial t} = \underline{0}$$

$$\underline{J} \cdot \dot{\underline{x}} + \underbrace{\frac{\partial C}{\partial t}}_{=0} = \underline{0}$$

雅可比矩阵：Describes the “direction of the constraints”

$$\underline{J} = \frac{\partial C}{\partial \underline{x}}$$

达朗贝尔原理：约束力不做功

$$\underline{f}_c = \underline{J}^T \cdot \underline{\lambda}$$

系统状态向量 → 限制方程 → 反向推导 → 正向推导 → 系统状态向量

3.Recap: Properties and Kinematics of Rigid Bodies

Rigid Body = deformation .

质心： The Centre of Mass

$$\iiint_{\mathbb{B}} \rho(\underline{p}) \cdot (\underline{p} - \underline{p}_{\text{cog}}) dV = 0$$

$$\Leftrightarrow \underline{p}_{\text{cog}} = \frac{1}{m} \iiint_{\mathbb{B}} \rho(\underline{p}) \cdot \underline{p} dV$$

惯性张量：

$$\underline{L}_B = \underline{\Theta}_{B,\text{cog}} \cdot \underline{\omega}_B$$

$${}^W \underline{\Theta}_{\text{cog}} = \iiint_{\mathbb{B}} \rho(\underline{p}) \cdot \begin{pmatrix} p_y^2 + p_z^2 & -p_y p_z & -p_x p_z \\ -p_x p_y & p_x^2 + p_z^2 & -p_y p_z \\ -p_x p_z & -p_y p_z & p_x^2 + p_y^2 \end{pmatrix} dV$$

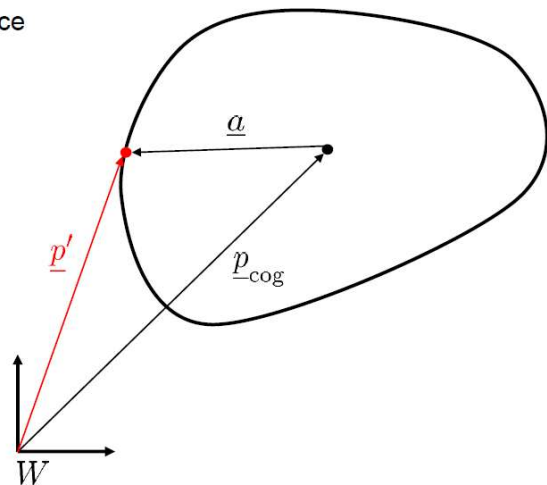
对称性 and 正定性

惯性张量的平行轴定理 (Parallel Axis Theorem)，用于在刚体动力学中将惯性张量从质心位置转换到任意参考点。

The Parallel Axis Theorem allows to change the reference point of the Inertia Tensor.



$${}^W \underline{\Theta}_{\underline{p}'} = {}^W \underline{\Theta}_{\underline{p}_{\text{cog}}} + m \cdot \begin{pmatrix} a_y^2 + a_z^2 & -a_y a_z & -a_x a_z \\ -a_x a_y & a_x^2 + a_z^2 & -a_y a_z \\ -a_x a_z & -a_y a_z & a_x^2 + a_y^2 \end{pmatrix}$$



如何在不同坐标系之间转换惯性张量 (Inertia Tensor) 的方向。它是惯性张量旋转变换的公式，并不会改变参考点 (如质心)，只改变表示的坐标系方向。

$${}^{W_2} \underline{\Theta}_{\text{cog}} = {}^{W_2} \underline{R}_{W_1} \cdot {}^{W_1} \underline{\Theta}_{\text{cog}} \cdot ({}^{W_2} \underline{R}_{W_1})^T$$

四元数可以表示“旋转”或“朝向”，可以和旋转矩阵相互转换。

$${}^W T_B = \begin{pmatrix} {}^W \underline{R}_B & {}^W \underline{p}_{\text{cog}} \\ \underline{0} & 1 \end{pmatrix}$$

$$\begin{pmatrix} {}^W \underline{p}_{\text{cog}} \\ {}^W \underline{q}_B \end{pmatrix}$$

四元数的加减法以及求导的相关法则：

The sum of two quaternions x and y :

$$x + y = (x_0 + y_0) + (x_1 + y_1)i + (x_2 + y_2)j + (x_3 + y_3)k$$

The product of two quaternions x and y :

$$\begin{aligned} x \cdot y &= (x_0 y_0 - x_1 y_1 - x_2 y_2 - x_3 y_3) \\ &\quad + (x_0 y_1 + x_1 y_0 + x_2 y_3 - x_3 y_2)i \\ &\quad + (x_0 y_2 - x_1 y_3 + x_2 y_0 + x_3 y_1)j \\ &\quad + (x_0 y_3 + x_1 y_2 - x_2 y_1 + x_3 y_0)k \end{aligned}$$

The inverse quaternion:

$$q^{-1} = \frac{\bar{q}}{q\bar{q}}$$

The conjugated quaternion:

$$\bar{q} = q_0 - q_1 i - q_2 j - q_3 k$$

Quaternions are able to represent rotations in three dimensional space:

Each unit quaternion $q \in \mathbb{H}$ can be unambiguously represented in polar representation using $a \in \mathbb{H}_{\text{pure}}$ and a polar angle $\alpha \in \mathbb{R}$:

$$q = \cos \frac{\alpha}{2} + a \cdot \sin \frac{\alpha}{2}$$

The mapping $r_q: \mathbb{H} \rightarrow \mathbb{H}$ represents a rotation defined by q , i.e. a rotation about a with angle

$$r_q(x) = qxq^{-1} \quad \text{with} \quad x = x_1 \cdot i + x_2 \cdot j + x_3 \cdot k \quad , \quad \underline{x} = \begin{pmatrix} x_1 & x_2 & x_3 \end{pmatrix}$$

The concatenation of two rotations r_{q1} and r_{q2} is equivalent to the multiplication of the quaternions representing the individual rotations before applying the rotation:

$$r_{q1} \circ r_{q2} = r_{q1 \cdot q2}$$

The inverse rotation is represented by the inverse quaternion:

$$r_q^{-1} = r_{q^{-1}}$$

$$\dot{\underline{q}} = \frac{1}{2} \cdot \begin{pmatrix} 0 \\ \underline{\omega} \end{pmatrix} \circ \underline{q}$$

四元数和旋转矩阵的相互转换：

Quaternions are directly related to rotation matrices:

Convert Quaternions to rotation matrix (Euler-Rodrigues formula):

$$R_{q(\underline{a}, \alpha)} = \begin{pmatrix} q_0^2 + q_1^2 - q_2^2 - q_3^2 & -2q_0q_3 + 2q_1q_2 & 2q_0q_2 + 2q_1q_3 \\ 2q_0q_3 + 2q_1q_2 & q_0^2 - q_1^2 + q_2^2 - q_3^2 & -2q_0q_1 + 2q_2q_3 \\ -2q_0q_2 + 2q_1q_3 & 2q_0q_1 + 2q_2q_3 & q_0^2 - q_1^2 - q_2^2 + q_3^2 \end{pmatrix}$$

For special cases the rotation matrix can be converted into a quaternion (see also [Shuster1993]):

$$q(\underline{a}, \alpha) = \frac{\sqrt{1 + r_{11} + r_{22} + r_{33}}}{2} + \frac{r_{32} - r_{23}}{4 \cdot q_0} i + \frac{r_{13} - r_{31}}{4 \cdot q_0} j + \frac{r_{21} - r_{12}}{4 \cdot q_0} k$$

$$\text{for } 1 + r_{11} + r_{22} + r_{33} > 0$$

对于刚体上的某个点，不属于质心，其动量计算公式为：

$$\begin{aligned} \underline{v}_p &= \underline{v}_{\text{cog}} + \underline{\omega} \times \underline{r} \\ \underline{\omega}_p &= \underline{\omega}_{\text{cog}} = \underline{\omega} \\ \dot{\underline{v}}_p &= \dot{\underline{v}}_{\text{cog}} + \underline{\omega} \times (\underline{\omega} \times \underline{r}) + \dot{\underline{\omega}} \times \underline{r} \end{aligned}$$

向心加速度和欧拉加速度

tip:解法：

$$\begin{aligned} \dot{\underline{v}}_p &= \frac{d}{dt} (\underline{v}_{\text{cog}}) + \frac{d}{dt} (\underline{\omega} \times \underline{r}) \\ \Rightarrow \dot{\underline{v}}_p &= \dot{\underline{v}}_{\text{cog}} + \dot{\underline{\omega}} \times \underline{r} + \underline{\omega} \times \underbrace{\dot{\underline{r}}}_{=\underline{\omega} \times \underline{r}} \end{aligned}$$

第三步：解释 $\dot{\mathbf{r}} = \boldsymbol{\omega} \times \mathbf{r}$

由于点 p 是刚体内固定点，即在刚体坐标系下不动：

- 其相对质心的运动完全来自于刚体的旋转
- 因此在世界坐标下的 $\dot{\mathbf{r}}$ 表达为：

$$\dot{\mathbf{r}} = \boldsymbol{\omega} \times \mathbf{r}$$

4.Constraints

约束为两种：Holonomic constraints（完整约束）= 等式约束

Non holonomic constraints = 不等式约束，用于检查是否存在穿模

1.Holonomic constraints

$$\begin{aligned} {}^W T_{A_1}(\underline{p}_1, \underline{q}_1) &= {}^W T_{B_1}(\underline{p}_1, \underline{q}_1) \cdot {}^{B_1} T_{A_1} \\ &= \begin{pmatrix} {}^W R_{B_1}(\underline{q}_1) \cdot {}^{B_1} R_{A_1} & {}^W R_{B_1}(\underline{q}_1) \cdot \underline{r}_{A_1} + \underline{p}_1 \\ \underline{0} & 1 \end{pmatrix} \end{aligned}$$

旋转 平移

2) Joint angle in a kinematic chain
3) Quaternion for orientation for Rigid Body 1 (\underline{q}_1 , he

平移部分应该约束为0，so:

$$C(\underline{x}(t), t) = {}^W R_{B_1}(\underline{q}_1) \cdot \underline{r}_{A_1} + \underline{p}_1 - {}^W R_{B_2}(\underline{q}_2) \cdot \underline{r}_{A_2} - \underline{p}_2 = \underline{0} \in \mathbb{R}^3$$

然后求导，得到速度约束

二次求导，得到加速度约束

5.Simulation of free-floating Rigid Bodies

线动量 + 角动量

动量守恒

外力 = 动量对时间求导 = $m \times$ 线速度的导数

外力矩 = 角动量的导数 = (这里存在一个特殊的陀螺项)

$$\underline{f}_{\text{ext}} = \dot{\underline{p}} = m \cdot \dot{\underline{v}}$$

$$\underline{\tau}_{\text{ext}} = \dot{\underline{L}} = \underline{\Theta} \cdot \dot{\underline{\omega}} + \underline{\omega} \times \underline{\Theta} \cdot \underline{\omega}$$

如果外力没有作用在质心，则需要重新计算外力矩：

$$\underline{\tau}'_{\text{ext}} = \underline{r} \times \underline{f}'_{\text{ext}}$$

陀螺项是由于惯性张量的导数引起的，陀螺项会导致刚体的翻滚运动

$$\underline{\tau}_{\text{ext}} = \dot{\underline{L}} = \underline{\Theta} \cdot \dot{\underline{\omega}} + \underline{\omega} \times \underline{\Theta} \cdot \underline{\omega}$$

陀螺项 (陀螺力矩)

如果 ω 与惯性张量 Θ 的特征向量共线，则陀螺矩为零。刚体绕一个主惯性轴旋转。

如果 ω 与惯性张量 Θ 的特征向量不共线，则陀螺矩不为零。刚体翻滚 (例如，失去平衡的轮胎)。

仿真设计的循环：

当前系统的状态 $(p, q, v, w) \rightarrow$ 计算系统状态的微分 (离散) \rightarrow 最后重新计算变化后的惯性张量

然后回到最初，重新进行循环，计算下一个时间状态。

6.Constraint forces and simulation (约束力和仿真)

1.达朗贝尔定理：约束力不做功

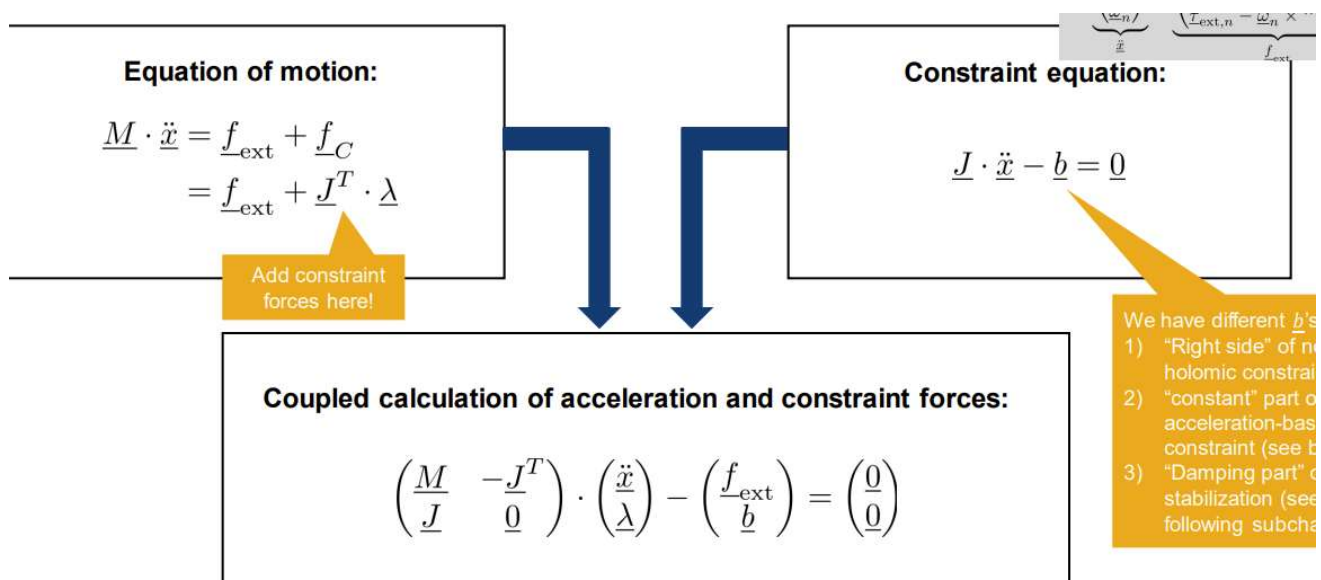
$$\begin{aligned}
 \delta W &= \sum_{i=1}^N \underline{f}_{C,i}^T \cdot \delta \underline{x}_i \\
 &= \sum_{i=1}^N \underline{f}_{C,i}^T \cdot \underline{\dot{x}}_i \delta t \\
 &= \sum_{i=1}^N (\underline{J}_i^T \cdot \underline{\lambda}_i)^T \cdot \underline{\dot{x}}_i \delta t \\
 &= \sum_{i=1}^N \underline{\lambda}_i^T \cdot \underbrace{\underline{J}_i \cdot \underline{\dot{x}}_i}_{=0} \delta t = 0
 \end{aligned}$$

2.约束力计算:

$$\underline{f}_c = \underline{J}^T \cdot \underline{\lambda}$$

计算约束力两种方法

1.方程法:



b 是约束对系统产生的“额外加速度项”，通常由约束随时间变化或非线性速度项引起，是为了保持约束条件恒成立所必须的补偿项。

(通过对位置进行二次求导，可以得出b也就是对加速度的约束项)

2.JMJT-approach

$$\ddot{\underline{x}} = \underline{M}^{-1} \left(\underline{f}_{\text{ext}} + \underline{J}^T \cdot \underline{\lambda} \right)$$

使用这个替换

维度更少，计算量会变小

仿真流程（JMJT方法对于受约束刚体）：

系统状态 → 计算雅可比矩阵 → 计算受约束力 → 正向推导出积分方程去计算下一个状态的速度和加速度 → 更新惯性张量 最后重新回到第一个，进行计算下一个的仿真

对于最大化坐标法存在着数据飘逸的问题，所以我们需要用到一些稳定项。

8.Impulse-based simulation of constrained Rigid Bodies

(基于冲量的受约束刚体系统仿真方法)

冲量 (Impulse) 是力在短时间内的积分，表示瞬时作用产生的“动量变化”：

$J = \int F dt = \Delta p = m \cdot \Delta v$. (瞬间发生的碰撞、接触反弹、反作用力)

Impulse-based vs Force-based 方法区别

方法	施力方式	是否逐步积分	是否适合碰撞/瞬时反应	典型用途
Force-based	持续施加力 F	✅ 需要微分方程数值积分	❌ 不适合刚体硬碰撞	常规仿真、控制建模
Impulse-based	瞬时施加冲量 J	❌ 不需要积分过程	✅ 非常适合瞬间碰撞反应	游戏物理、接触响应

9.MLCP（混合线性互补问题）

10.Simulation of constrained Rigid Bodies with friction

Coulomb friction model

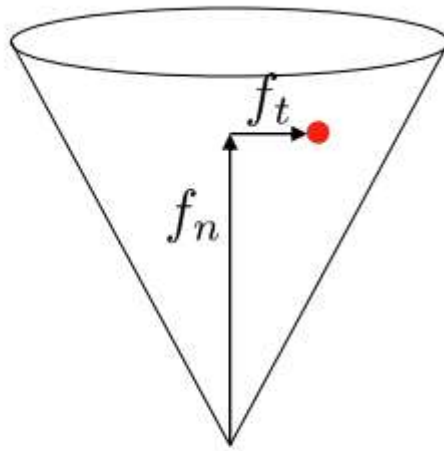
$$f_t \leq \mu \cdot f_n$$

- ft：切向摩擦力（t = tangential）
- fn：法向接触力（n = normal）
- μ：摩擦系数（Coefficient of Friction）

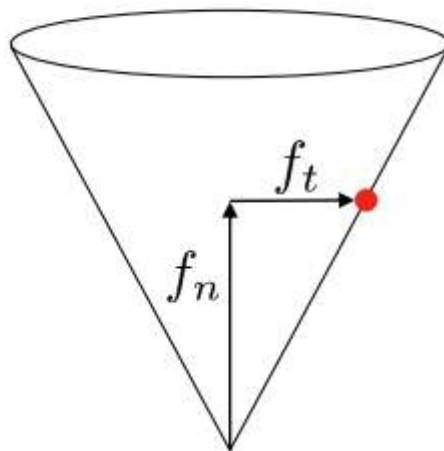
摩擦力大小不能超过“最大静摩擦力” μfn，否则物体就会滑动。

“摩擦锥（Friction Cone）”的概念：

在 3D 接触建模中，摩擦是向量，方向可以指向任何切平面方向。因此：这个“模长不超过上限”的几何表示就是一个锥体，叫做 摩擦锥。



Friction lies within the friction cone, thus the body is not moving



Friction lies on the surface of the friction cone, thus the maximal value of friction is applied.

Friction lies **within** the friction cone, thus the body is **not moving**.

摩擦力位于摩擦锥内，所以物体处于静止状态。

Friction lies **on the surface** of the friction cone, thus the **maximal value** of friction is applied.

摩擦力位于摩擦锥表面，因此摩擦力达到最大值。

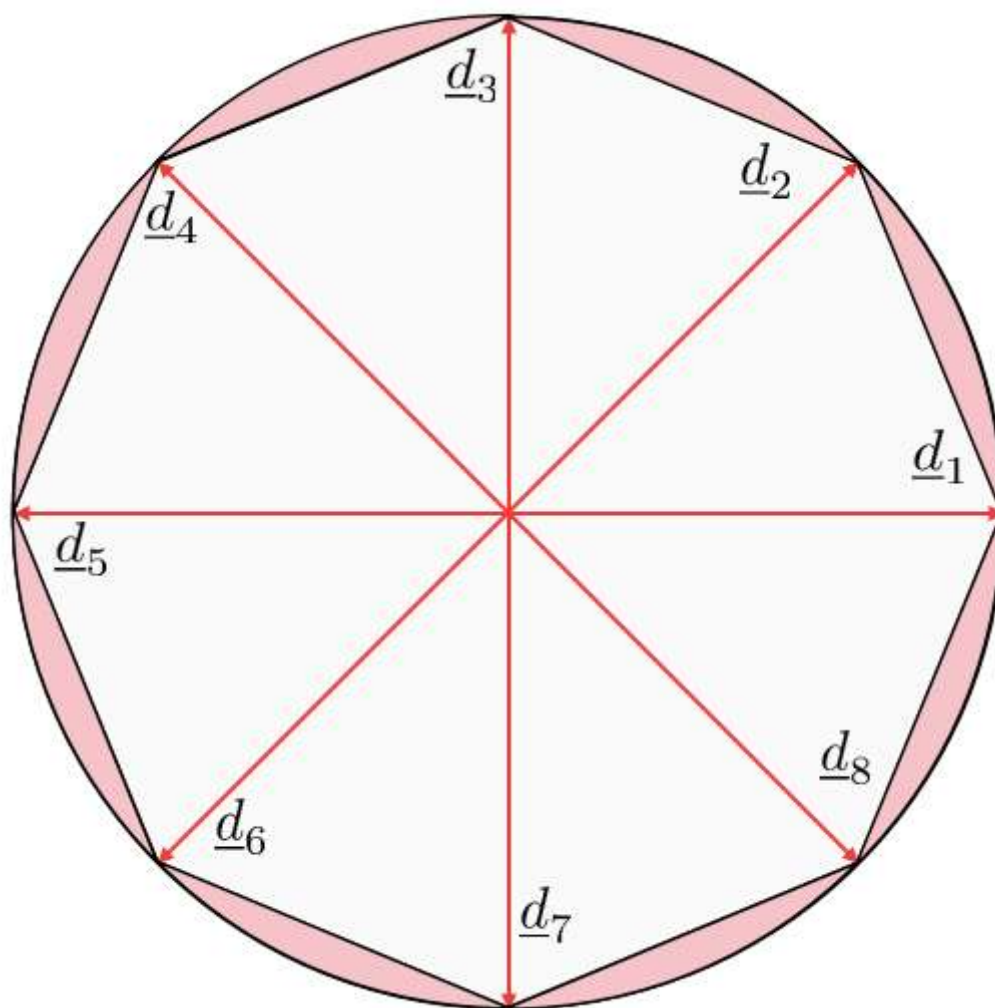
动静摩擦的区别

Friction Cone Approximation – Approximation Error

摩擦锥的近似建模与误差问题

在真实物理中，摩擦力的限制是一个**连续的圆锥形区域**（摩擦锥），但在计算机中**无法直接处理圆锥体的无限方向**，因此我们通常做如下近似将摩擦锥**离散化成有限数量的基向量** d_1, d_2, \dots, d_8 如图中的红线,实际计算中就只允许摩擦力沿这些方向的**线性组合**。

“摩擦多面体”(Friction Pyramid 或 Friction Cone Approximation)



摩擦锥在仿真中通常被近似为摩擦多面体，用有限个方向 \underline{d}_i 替代无限锥面。方向越多逼近越准，但代价是计算变慢，精度与性能之间需要权衡。

我的理解：计算机需要把连续的东西进行离散化，所以把摩擦锥这个练习的圆锥模拟成多面体，并用不同的向量之间的线形组合来表示摩擦力的方向。

通过一组离散切向方向 \underline{d}_i ，并用拉格朗日乘子 $\lambda \underline{d}_i$ 决定每个方向的摩擦力大小，我们就可以逼近任意方向上的摩擦行为，同时便于求解器处理这些不等式约束。

基于约束的摩擦建模：互补约束的建模方法。

要精确的描述摩擦，需要两个互补的约束（complementarity constraints）。

该建模方式通过两个互补条件共同描述摩擦行为：一个约束摩擦大小（是否超过锥体），一个约束摩擦方向（是否滑动），它们之间通过 $\beta \cdot a_{aux} = 0$ 互补性条件连接，实现对静摩擦与动摩擦的统一建模。

✅ 第一条约束：

速度约束 + 摩擦方向

$$J_d \cdot v + \beta \cdot \mathbf{e} = 0$$

- J_d : 摩擦方向上的约束 Jacobian（多个离散方向）
 - v : 相对速度
 - β : 辅助变量（辅助乘子，用于判定状态）
 - $\mathbf{e} = (1, 1, \dots, 1)^T$: 单位向量，长度等于摩擦方向数
-

✅ 第二条约束：

摩擦大小约束 + 法向力

$$\mu \cdot \lambda_n - \mathbf{e}^T \cdot \lambda_d = a_{aux} \geq 0$$

- μ : 摩擦系数
- λ_n : 法向拉格朗日乘子（正向力）
- λ_d : 每个方向上摩擦力分量（多个方向）
- a_{aux} : 辅助变量，表示当前是否满摩擦力限制

下面为我自己写的计算流程：

摩擦约束整合逆动力学系统方程

→ Mixed LCP

一. 基础动力学方程 (系统动力学)

$$m \cdot \ddot{v} = f_{ext} + J^T \cdot \lambda$$

时间离散化, 变成冲量形式:

$$M \cdot (v(t+dt) - v(t)) = dt \cdot f_{ext} + dt \cdot J^T \cdot \lambda$$

· λ 包括所有约束的拉格朗日乘子 (例如 $\lambda_e, \lambda_n, \lambda_d$)

· $J = [J_e, J_n, J_d]$: 对应完整的约束, 法向接触约束以及切向摩擦约束

二. 引入约束

J_e 完整约束 (关节)

$$J_e \cdot v(t+dt) = 0$$

J_n 法向非穿透约束

$$J_n \cdot v(t+dt) = a_n \geq 0$$

J_d 摩擦方向约束

$$J_d \cdot v(t+dt) + \beta \cdot e = 0$$

用于判断静/动摩擦

三. 摩擦力的互补性建模

1. 滑动状态判断:

$$J_d \cdot v(t+dt) + \beta \cdot e = 0$$

若滑动 $\beta > 0$, 表示存在相对速度

若静止 $\beta = 0$, 代表 0 相对滑动.

2. 摩擦力大小限制 + 互补关系

$$u \cdot \lambda_n - e^T \cdot \lambda_d = a_{aux} \geq 0$$

$$a_{aux} \cdot \beta = 0$$

(表示总摩擦力不能超过最大静摩擦力, 是否滑动由 β 控制)

四、总系统组装为 混合 LCP

$$\begin{pmatrix} M & -J_e^T & -J_n^T & -J_d^T & 0 \\ J_e & 0 & 0 & 0 & 0 \\ J_n & 0 & 0 & 0 & 0 \\ J_d & 0 & 0 & 0 & E \\ 0 & 0 & u & -E^T & 0 \end{pmatrix} \cdot \begin{pmatrix} V(t+dt) \\ dt \cdot \lambda_e \\ dt \cdot \lambda_n \\ dt \cdot \lambda_d \\ \beta \end{pmatrix} = \begin{pmatrix} M \cdot V(t) + dt \cdot \int_{ext} \\ 0 \\ 0 \\ 0 \\ 0 \end{pmatrix}$$

$$= \begin{pmatrix} 0 \\ 0 \\ a_n \\ 0 \\ a_{aux} \end{pmatrix}$$

五、补充不等式与互补条件

$$\begin{pmatrix} a_n \\ a_{aux} \end{pmatrix} \geq 0 \quad \begin{pmatrix} \lambda_n \\ \beta \end{pmatrix} \geq 0 \quad \begin{pmatrix} a_n \\ a_{aux} \end{pmatrix}^T \cdot \begin{pmatrix} \lambda_n \\ \beta \end{pmatrix} = 0$$

1. $a_n > 0$: 没有接触, $\lambda_n = 0$

2. $a_{aux} > 0$: 摩擦力未达, $\beta = 0$, 即静摩擦

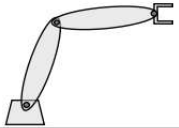
3. 若 $\beta > 0$: 正在滑动, 则 $a_{aux} = 0$, 即已达最大摩擦

11. Generalized vs. maximal coordinates formalism

什么是广义坐标?

广义坐标是对刚体系统进行建模时的核心变量, 代表系统的最小独立自由度集, 其时间导数构成速度与加速度, 广义力是与之对应的驱动力。

Lagrange formalism

Step 1	Define generalized coordinates	q_1, \dots, q_n	
Step 2	Calculate kinetic energy & potential energy	$L = E_{\text{kin}}(\underline{q}, \underline{\dot{q}}) - E_{\text{pot}}(\underline{q})$	
Step 3	Calculate Lagrange equation	$\frac{d}{dt} \left(\frac{\partial L}{\partial \dot{q}} \right) - \frac{\partial L}{\partial q} = Q$	
Step 4	Calculate Equation of motion	$\underline{H}(\underline{q}) \underline{\ddot{q}} + \underline{C}(\underline{q}, \underline{\dot{q}}) = \underline{\tau}$	

正向动力学 (Forward Dynamics) 和逆向动力学 (Inverse Dynamics) :

正向动力学是: 已知广义坐标 q 、速度 \dot{q} 、输入力/力矩 τ , 求加速度 \ddot{q}

即: 你给力, 它算运动。

逆向动力学是：已知系统姿态 q 、速度 \dot{q} 、加速度 \ddot{q} ，求所需力/力矩 τ

即：你给运动轨迹，它算需要的驱动力。

逆向动力学中的经典算法:Recursive Newton-Euler Algorithm (递归牛顿欧拉算法)

◆ 【Step 1】 Forward Iteration (前向迭代)

作用：从根部 (base) 出发，依次计算每个刚体的状态：

1 计算每个 link 的位置、速度、加速度

- 使用关节位置 q_i 、速度 \dot{q}_i 、加速度 \ddot{q}_i
- 通过变换矩阵和雅可比递推，得到刚体在世界坐标下的：
 - 平动速度 v_i
 - 角速度 ω_i
 - 加速度 a_i

2 计算为产生这些加速度所需的合力与合力矩

- 使用刚体方程：

$$F_i = m_i \cdot a_i, \quad \tau_i = I_i \cdot \dot{\omega}_i + \omega_i \times (I_i \cdot \omega_i)$$

◆ 【Step 2】 Backward Iteration (反向迭代)

作用：从末端 (end-effector) 回溯，计算每个关节的驱动力/力矩

3 从最末端 link 开始，依次向根部回传：

- 合力、合力矩通过连接点传递
- 在每个关节处，将这些力变换为关节力矩 τ_i ：

$$\tau_i = J_i^T \cdot \begin{bmatrix} F_i \\ \tau_i \end{bmatrix}$$

- 也可以理解为“控制该关节所需的力”

合成刚体算法(CRBA)，这是用来高效计算机器人正向动力学中的关节空间惯性矩阵 $H(q)$ 的经典方法。

Goal of the Composite Rigid Body Algorithm

$$\ddot{\underline{q}} = FD(\underline{q}, \dot{\underline{q}}, \underline{\tau})$$

i.e. calculate the joint space inertia matrices of the motion equation

$$\boxed{\underline{H}(\underline{q})} \ddot{\underline{q}} + \boxed{C(\underline{q}, \dot{\underline{q}})} = \underline{\tau} \quad \text{with} \quad \boxed{C(\underline{q}, \dot{\underline{q}})} = ID(\underline{q}, \dot{\underline{q}}, \underline{0})$$

Calculate the generalized accelerations using the motion equation

$$\ddot{\underline{q}} = \underline{H}(\underline{q})^{-1} (\underline{\tau} - C(\underline{q}, \dot{\underline{q}}))$$

The joint space inertia matrix needs to have full rank, i.e. no redundant configurations are allowed

Composite Rigid Body Algorithm 的作用：

🔧 计算惯性矩阵 $H(q)$

这是最难、最慢的一项，因此我们用 CRBA 做这件事。

$H(q)$ ：关节空间惯性矩阵

- 是正向动力学中加速度对力的“质量”映射
- 与机器人几何结构和质量分布有关
- CRBA 目标就是高效求它

Forward Dynamics – Articulated Body Algorithm (ABA)

关节刚体算法（也叫递归牛顿欧拉正向解法），是机器人动力学中用于正向动力学求解 \ddot{q} 的一种**高效且线性时间复杂度（ $O(n)$ ）**的算法。

◆ Step 1:

从 base 向末端计算：每个 link 的位置、速度和非线性偏置力 (bias forces)

- 给定 q, \dot{q}
 - 递推计算每个 link：
 - 空间速度 v_i
 - 空间加速度（无驱动项） \dot{v}_i^{bias}
 - 重力、科氏、离心项合成的 bias force p_i
-

◆ Step 2:

从末端向 base 反向递推：每个 link 的关节惯性 & 偏置力 (Articulated Inertia & Bias Force)

- 对于每个关节：
 - 计算组合后的刚体惯性 \hat{I}_i
 - 计算组合后的偏置项（考虑连接子 link 的影响）：

$$\hat{p}_i = p_i + \text{变换子节点传来的反力}$$

◆ Step 3:

从 base 向末端再递推：计算每个关节的加速度

使用下面形式递推解出 \ddot{q}_i ：

$$\ddot{q}_i = \frac{1}{\hat{a}_i} (\tau_i - \hat{b}_i)$$

其中：

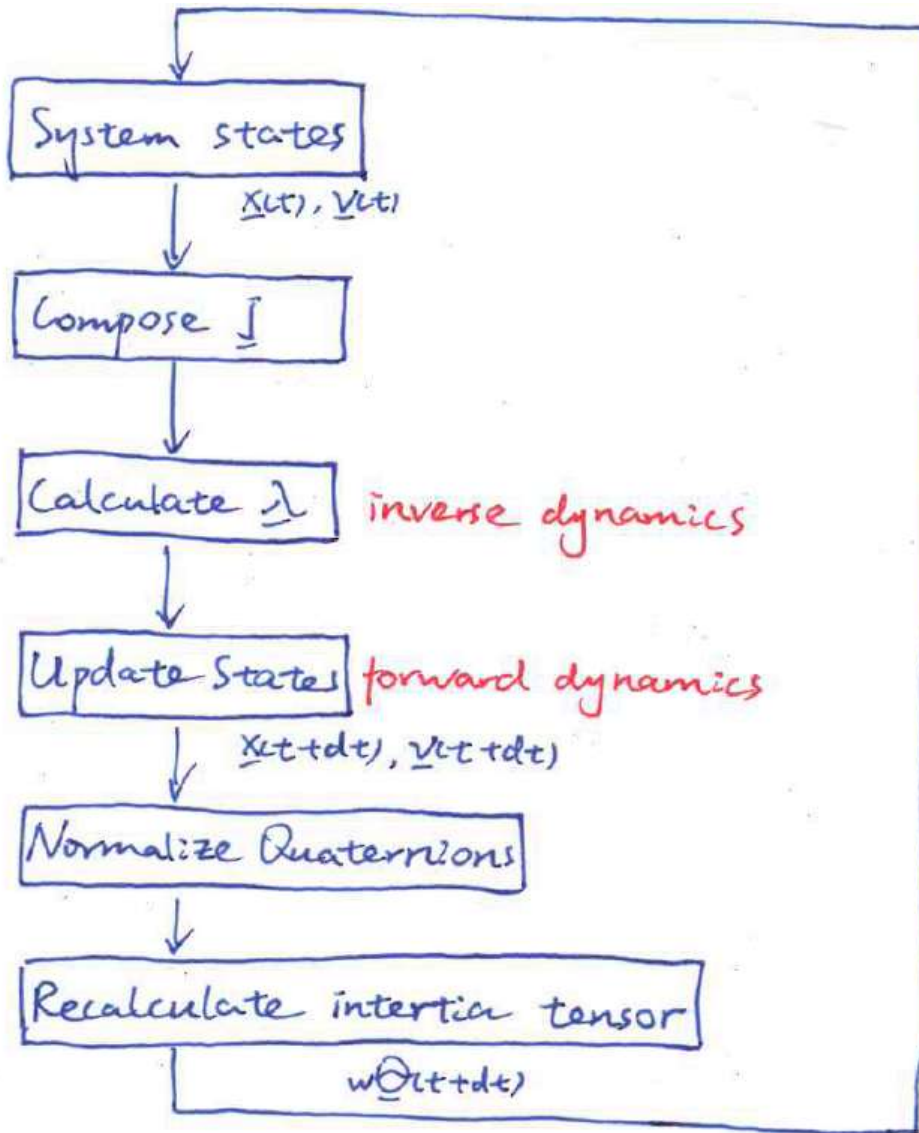
- \hat{a}_i ：关节的有效惯量
- \hat{b}_i ：非线性偏置项（来自 bias force 和父节点加速度）

什么是 Maximal Coordinates（最大坐标）：

最大坐标法是分别为每一个刚体单独定义其完整的位姿（位置 + 姿态），而不是只用最小自由度。

个人总结

纯刚体（无约束）



■ 5. Normalize Quaternions

✦ 为什么?

- 四元数表示旋转，但会在数值积分中逐渐漂离单位模
- 非单位模四元数不再表示纯粹的旋转

📖 操作:

$$\mathbf{q} \leftarrow \frac{\mathbf{q}}{\|\mathbf{q}\|}$$

✅ 说明:

- 每次更新完四元数后都要归一化以维持稳定性

题目理解:

Implementation of an Accelerated Projected Gradient Descent Solver for Multibody Dynamics Simulation

实现一种新的数值求解方法（APGD），用于加速仿真中刚体接触 + 摩擦 + 约束的问题。

在**多体动力学仿真**中（比如机器人、车辆、卫星），你会经常碰到：

- 刚体之间的**接触**（例如轮子接地）
- 接触产生的**摩擦力**
- **约束**（如铰链、轨道）
- 这些都是非光滑动力学（non-smooth dynamics）问题

这些问题数学上形成了一个非常难求解的非线性系统，特别是：

NSC/CCP 问题：非光滑接触问题 / 锥互补问题（Cone Complementarity Problem）

什么是 APGD？

APGD = Accelerated Projected Gradient Descent

- 是一种数值优化方法

- 基于 Nesterov 加速梯度法
- 适合求解受限凸优化问题（如接触力、摩擦力的计算）

优点：

- 比 Gauss-Seidel 更快收敛
- 可并行化
- 更适合大规模系统仿真

在 C++ 多体仿真平台中集成 APGD 方法，并与 Gauss-Seidel 方法比较，提升计算效率。